

سُبْحَانَ رَبِّ الْعَالَمِينَ



دانشکده علوم

گروه فیزیک

پایان نامه‌ی کارشناسی ارشد رشته‌ی فیزیک گرایش حالت جامد

مطالعه خواص الکترونی و نوری نقطه کوانتموی بیضی گون و نیم
بیضی گون همراه با ناخالصی هیدروژنی با پتانسیل نامحدود

استاد راهنما:

دکتر قاسم رضایی

استاد مشاور:

دکتر ابراهیم صادقی

پژوهشگر:

جابر ابراهیمی نجف آبادی

۱۳۸۹ مهرماه

رساله‌ی حاضر، پژوهش‌های نگارنده در دوره‌ی کارشناسی ارشد رشته‌ی فیزیک گرایش ماده چگال است که در مهرماه سال ۱۳۸۹ در دانشکده‌ی علوم پایه دانشگاه یاسوج به راهنمایی جناب آقای دکتر قاسم رضایی و مشاوره‌ی جناب آقای دکتر ابراهیم صادقی از آن دفاع شده است و کلیه حقوق مادی و معنوی آن متعلق به دانشگاه یاسوج است.

تقدیم به

پدر و مادر دلسوز و فداکارم

سپاسگزاری

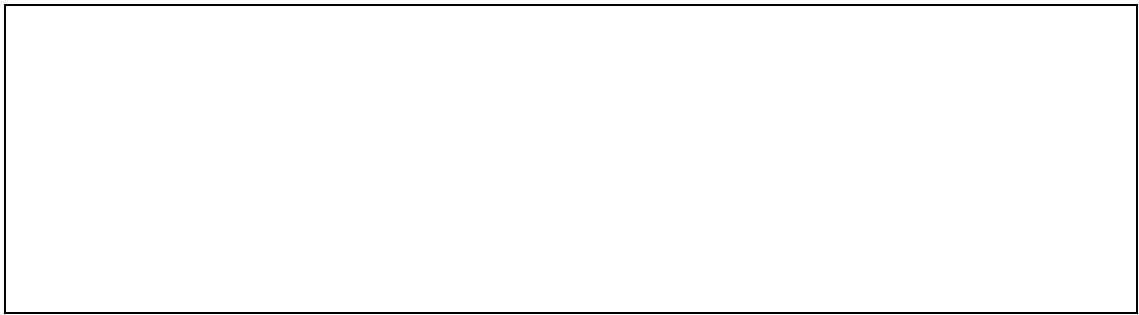
اکنون که این رساله به پایان رسیده است بر خود فرض می‌دانم که از استاد ارجمند جناب آقای دکتر قاسم رضایی که هدایت این رساله را به عهده داشتند و با رهنمودهای ارزشمند خود من را در انجام این رساله باری کردند تشکر نمایم. همچنین بر خود واجب می‌دانم که مراتب سپاسگزاری خویش را از تمامی اساتید بزرگوار بخش فیزیک دانشگاه یاسوج، که افتخار شاگردی ایشان را داشته‌ام، بیان نمایم. از اعضای محترم کمیته‌ی پایان نامه، آقایان دکتر قاسم رضایی، دکترا براهیم صادقی، دکتر عباس ظریفی، و نماینده محترم تحصیلات تکمیلی جناب آقای دکتر حسن آزادی و همچنین جناب آقای دکتر محمد جواد کریمی از دانشگاه صنعتی شیراز سپاسگزاری می‌نمایم. از تمامی اعضا محترم هیات علمی گروه فیزیک دانشگاه یاسوج کمال تشکر را دارم. در پایان از پدر و مادر فداکارم که همیشه مديون آنها هستم، تشکر و سپاسگزاری می‌کنم.

نام خانوادگی: ابراهیمی نجف‌آبادی	نام: جابر
رشته و گرایش: فیزیک (ماده چگال)	مقطع تحصیلی: کارشناسی ارشد
تاریخ دفاع: ۸۹/۷/۱۳	استاد راهنمای: دکتر قاسم رضایی

مطالعه خواص الکترونی و نوری نقطه کوانتمی بیضی‌گون و نیم بیضی‌گون همراه با ناخالصی هیدروژنی با پتانسیل نامحدود

چکیده

نقطه کوانتمی یا ساختار شب صفر بعدی، یکی از سیستم‌های کوانتمی نیمرسانا است که در آن حرکت حامل‌های بار در تمام راستاهای فضایی محدود می‌باشد. این محدودیت فضایی، سبب کوانتیدگی ترازهای انرژی الکترون‌ها در نوار رسانش شده، خصوصیات فیزیکی این سیستم‌های نیمرسانا را دگرگون می‌سازد. بررسی خواص الکترونی و اپتیکی نقطه‌های کوانتمی نه تنها از دیدگاه نظری بلکه به علت کاربرد وسیع آنها در ساخت لیزرهای نیمرسانا، قطعات الکترونیکی و اپتوالکترونیکی مورد توجه بوده است. در این رساله ما ابتدا با استفاده از سیستم مختصات کره‌وار کشیده و در تقریب جرم مؤثر، معادله شرودینگر را برای دو نوع نقطه کوانتمی، بیضی‌گون و نیم بیضی‌گون به صورت عددی محاسبه می‌نماییم. در ادامه تأثیر اعمال میدان الکتریکی را بر ترازهای بررسی نموده‌ایم. نتایج بدست آمده این است که ترازهای انرژی نقطه کوانتمی نیم بیضی‌گون و بیضی‌گون به ابعاد و شکل نقطه وابسته است. همچنین وجود ناخالصی هیدروژنی انرژی ترازها را کاهش می‌دهد علاوه بر این میدان الکتریکی، اثر قابل ملاحظه‌ای بر ترازهای انرژی ناخالصی هیدروژنی داشت و باعث کاهش انرژی ترازها می‌شود. در ادامه با داشتن ویژه تابع‌های انرژی، و به کمک تحول زمانی ماتریس چگالی، تغییرات ضرایب جذب و شکست نوری ناشی از گذار بین زیر نوارهای نقطه کوانتمی را محاسبه نموده و وابستگی این ضرایب را به بزرگی میدان الکتریکی خارجی و ابعاد و شکل نقطه کوانتمی را مورد بررسی قرار داده‌ایم. نتایج نشان می‌دهد که میدان الکتریکی خارجی و همچنین ابعاد و شکل نقطه کوانتمی به صورت قابل ملاحظه‌ای این ضرایب را تغییر می‌دهند.



فهرست مطالب

عنوان	صفحة
فصل اول: پیش‌گفتار	
۱-۱- مقدمه	۱
۱-۲- مقدمه ای بر نانو تکنولوژی	۱
۱-۲-۱- تاریخچه نانو	۱
۱-۲-۲- نانو تکنولوژی	۳
۳-۱- روش‌های تجربی تولید مواد در مقیاس نانویی	۳
۴-۱- مقدمه‌ای بر مواد نیم‌رسانا	۴
۵-۱- ساختارهای کوانتومی	۵
۵-۲- چاه کوانتومی	۵
۵-۳- سیم کوانتومی	۵
۶-۱- نقاط کوانتومی	۶
۶-۲- معرفی فصول بعد	۶
فصل دوم : بررسی ساختار نیم رساناها و سیستم‌های کوانتومی محدود	
۸-۱- ساختار	۸
۸-۱-۱- ساختار بلورها	۸
۹-۲- ساختارهای نیمه رسانای دارای پیوندهای با تقارن چهار وجهی	۹
۱۰-۲- نواحی انرژی	۱۰
۱۰-۲-۱- عایق‌ها، نیمه‌رساناها و رساناها	۱۰
۱۳-۲- پتانسیل دورهای و قضیه بلوخ	۱۳
۱۵-۴- تقریب جرم مؤثر	۱۵
۱۶-۵- چگالی حالتها برای سیستم حجمی(کپهای)	۱۶
۱۹-۶- ترازهای انرژی و چگالی حالات چاه کوانتومی	۱۹
۲۳-۷- ترازهای انرژی و چگالی حالات سیم کوانتومی	۲۳
۲۶-۸- ترازهای انرژی و چگالی حالات نقطه کوانتومی	۲۶
۲۸-۹- نتیجه گیری	۲۸

فهرست مطالب

عنوان	صفحه
-------	------

فصل سوم: بررسی ترازهای انرژی نقاط کوانتومی بیضی‌گون و نیم بیضی‌گون

۱-۳ مقدمه.....	۲۹
۲-۳ دستگاه مختصات کره وار.....	۲۹
۳-۲-۳ ۱-۲ دستگاه مختصات کره وار کشیده.....	۳۲
۳-۲-۳ ۲-۲ دستگاه مختصات کره وار دو سر تخت.....	۳۳
۳-۳ توابع موج نردهای کره‌وار در حالت کلی.....	۳۳
۴-۳ حل تحلیلی تابع موج.....	۳۴
۴-۳ ۱-۴ قسمت زاویه‌ای تابع موج.....	۳۴
۴-۳ ۲-۴ قسمت شعاعی تابع موج.....	۳۸
۵-۳ محاسبه ویژه مقادیر و ویژه توابع نقطه کوانتومی بیضی‌گون و نیم بیضی‌گون با نا خالصی هیدروزنی.....	۳۹
۶-۳ اعمال میدان الکتریکی خارجی.....	۴۲
۷-۳ محاسبات عددی و نتایج.....	۴۲
۸-۳ نتیجه گیری.....	۴۷

فصل چهارم: بررسی خواص نوری نقطه‌ی کوانتومی بیضی‌گون و نیم بیضی‌گون با پتانسیل نا محدود

۱-۴ مقدمه.....	۴۸
۲-۴ پذیرفتهای خطی و غیر خطی.....	۴۸
۲-۴ ۱-۲ تولید هماهنگ مرتبه دوم.....	۴۹
۲-۴ ۲-۲ تولید هماهنگ مرتبه سوم و اثر کر.....	۵۰
۳-۴ ۳-۲ تحول زمانی ماتریس چگالی و حل اختلالی آن.....	۵۲
۳-۴ ۳-۳ محاسبه ضرایب جذب و شکست نوری.....	۵۴
۴-۳-۴ ۱-۳ محاسبه پذیرفتاری خطی با استفاده از ماتریس چگالی.....	۵۴
۴-۳-۴ ۲-۳ محاسبه پذیرفتاری غیر خطی مرتبه دوم با استفاده از ماتریس چگالی.....	۵۵
۴-۳-۴ ۳-۳ محاسبه پذیرفتاری غیر خطی مرتبه سوم با استفاده از ماتریس چگالی.....	۵۸
۴-۴ ۴-۴ محاسبه تغییرات ضرایب شکست و ضریب جذب نقطه کوانتومی.....	۶۴
۵-۴ ۵-۴ محاسبات عددی و نتایج.....	۶۵

فهرست مطالب

عنوان	
٦-٤ نتیجه گیری	۹۳.....
فصل پنجم : نتیجه گیری	
نتیجه گیری	۹۴.....
مراجع	۹۷.....

فهرست جداول‌ها

عنوان	
جدول ۳-۵-۱: توابع وابسته لزاندر و توابع لزاندر.....	صفحه ۴۱

فهرست نگاره‌ها

صفحه	عنوان
	فصل دوم
۹	نگاره ۱-۱-۱-۲ - ساختار بلوری دو بعدی مبتنی بر یک شبکه مستطیلی ساده.....
۹	نگاره ۲-۱-۱-۲ - سلول‌های واحد سه شبکه براوه مکعبی.....
۱۰	نگاره ۱-۲-۱-۲ - سلول‌های واحد ساختار الماسی.....
۱۱	نگاره ۲-۱-۲-۱ - طرح واره‌ی نواری ساده برای نارسانا، نیم‌رسانا و رسانا.....
۱۲	نگاره ۲-۲-۱-۲ - نمودار نوار ظرفیت و رسانش با گاف نواری مستقیم و غیرمستقیم.....
۱۳	نگاره ۲-۲-۲-۲ - نمایش ساختار نواری.....
۱۸	نگاره ۲-۱-۵-۲ - نحوهٔ تغییرات چگالی حالت‌های نیم‌رسانی کپه‌ای بر حسب انرژی.....
۲۰	نگاره ۲-۱-۶-۲ - نمودار انرژی چاه کوانتموی.....
۲۱	نگاره ۲-۲-۶-۲ - طرحی از زیر نوارهای چاه کوانتموی.....
۲۲	نگاره ۲-۳-۶-۲ - نموداری از حالت‌ها در فضای k برای چاه کوانتموی
۲۲	نگاره ۲-۴-۶-۲ - چگالی حالت‌های دو بعدی برای چاه کوانتمی $GaAs$ با ضخامت بسیار کم و سد پتانسیل.....
۲۳	نگاره ۲-۱-۷-۲ - سیم کوانتموی با سطح مقطع مستطیلی و سد پتانسیل بی‌نهایت.....
۲۵	نگاره ۲-۲-۷-۲ - طرحی از سلول‌های واحد یک سیم کوانتموی در فضای k
۲۶	نگاره ۲-۳-۷-۲ - چگالی حالت‌های سیم کوانتمی یک بعدی.....
۲۷	نگاره ۲-۱-۸-۲ - نقطه‌ی کوانتموی با سطح مقطع مستطیلی و سد پتانسیل بی‌نهایت.....
۲۸	نگاره ۲-۲-۸-۲ - چگالی حالت‌های یک نقطه کوانتموی
	فصل سوم
۳۱	نگاره ۳-۱-۲-۳ - دستگاه مختصات کره وار کشیده.....
۳۳	نگاره ۳-۲-۲-۳ - دستگاه مختصات کره وار دو سر تخت.....
۴۳	نگاره ۳-۱-۷-۳ - تغییرات ترازهای انرژی نقطه کوانتموی بیضی‌گون با و بدون ناخالصی هیدروژنی χ
۴۳	نگاره ۳-۲-۷-۳ - تغییرات ترازهای انرژی نقطه کوانتموی نیم بیضی‌گون با و بدون ناخالصی هیدروژنی χ
۴۴	نگاره ۳-۳-۷-۳ - تغییرات ترازهای انرژی نقطه کوانتموی بیضی‌گون با و بدون ناخالصی هیدروژنی بر حسب شعاع
۴۵	نگاره ۳-۴-۷-۳ - تغییرات ترازهای انرژی نقطه کوانتموی نیم بیضی‌گون با و بدون ناخالصی هیدروژنی بر حسب شعاع

فهرست نگاره‌ها

عنوان	
نگاره‌ی ۳-۷-۵-۱-۲-۴ - تغییرات ترازهای انرژی نقطه کوانتومی بیضی گون با و بدون ناچالصی هیدروژنی بر حسب تغییرات میدان الکتریکی	۴۶
نگاره‌ی ۳-۷-۶-۱-۲-۴ - تغییرات ترازهای انرژی نقطه کوانتومی نیم بیضی گون با و بدون ناچالصی هیدروژنی بر حسب تغییرات میدان الکتریکی	۴۶
فصل چهارم	
نگاره‌ی ۴-۳-۱-۲-۴ - تولید هماهنگ دوم و نمودار ترازهای انرژی مربوط به آن	۵۰
نگاره‌ی ۴-۳-۱-۲-۴ - تولید هماهنگ سوم و نمودار ترازهای انرژی مربوط به آن	۵۰
نگاره‌ی ۴-۳-۱-۱-۲-۴ - نمودارهای فاینمین برای فرایندهای غیر خطی مرتبه سوم	۵۹
نگاره‌ی ۴-۱-۵-۱-۲-۴ - مقایسه‌ی تغییرات ضرایب جذب نقطه کوانتومی بیضی گون با و بدون ناچالصی هیدروژنی به صورت تابعی از انرژی فوتون فروودی	۶۶
نگاره‌ی ۴-۲-۵-۱-۲-۴ - مقایسه‌ی تغییرات ضرایب جذب نقطه کوانتومی نیم بیضی گون با و بدون ناچالصی هیدروژنی به صورت تابعی از انرژی فوتون فروودی	۶۶
نگاره‌ی ۴-۳-۵-۱-۲-۴ - تغییرات ضرایب جذب نقطه کوانتومی بیضی گون با ناچالصی هیدروژنی برای $\chi = 2$	۶۷
نگاره‌ی ۴-۴-۵-۱-۲-۴ - تغییرات ضرایب جذب نقطه کوانتومی بیضی گون با ناچالصی هیدروژنی برای $\chi = 2$	۶۸
نگاره‌ی ۴-۵-۱-۲-۴ - تغییرات ضرایب جذب نقطه کوانتومی بیضی گون با و بدون ناچالصی هیدروژنی به صورت تابعی از انرژی فوتون فروودی و مقادیر مختلف χ	۶۹
نگاره‌ی ۴-۶-۱-۲-۴ - تغییرات ضرایب جذب نقطه کوانتومی نیم بیضی گون با و بدون ناچالصی هیدروژنی به صورت تابعی از انرژی فوتون فروودی و مقادیر مختلف χ	۶۹
نگاره‌ی ۴-۷-۱-۲-۴ - مقایسه‌ی تغییرات ضرایب شکست نقطه کوانتومی بیضی گون با و بدون ناچالصی هیدروژنی به صورت تابعی از انرژی فوتون فروودی	۷۰
نگاره‌ی ۴-۸-۱-۲-۴ - مقایسه‌ی تغییرات ضرایب شکست نقطه کوانتومی نیم بیضی گون با و بدون ناچالصی هیدروژنی به صورت تابعی از انرژی فوتون فروودی	۷۱
نگاره‌ی ۴-۹-۱-۲-۴ - تغییرات ضرایب شکست نقطه کوانتومی بیضی گون با ناچالصی هیدروژنی برای $\chi = 2$	۷۱
نگاره‌ی ۴-۱۰-۱-۲-۴ - تغییرات ضرایب شکست نقطه کوانتومی نیم بیضی گون با ناچالصی هیدروژنی برای $\chi = 2$	۷۲
نگاره‌ی ۴-۱۱-۱-۲-۴ - تغییرات ضرایب شکست نقطه کوانتومی بیضی گون با ناچالصی هیدروژنی برای مقادیر مختلف χ	۷۳
نگاره‌ی ۴-۱۲-۱-۲-۴ - تغییرات ضرایب شکست نقطه کوانتومی نیم بیضی گون با ناچالصی هیدروژنی برای مقادیر مختلف χ	۷۳

فهرست نگاره‌ها

عنوان	صفحه
نگاره‌ی ۴-۱۳-۵-۴ - مقایسه‌ی تغییرات ضرایب جذب نقطه کوانتموی بیضی‌گون با و بدون ناخالصی هیدروژنی به صورت تابعی از انرژی فوتون فروودی با اعمال میدان الکتریکی ۷۴	نگاره‌ی ۴-۱۴-۵-۴ - تغییرات ضرایب جذب نقطه کوانتموی بیضی‌گون با ناخالصی هیدروژنی به صورت تابعی از انرژی فوتون فروودی با اعمال میدان الکتریکی مختلف ۷۵
نگاره‌ی ۴-۱۵-۵-۴ - تغییرات ضرایب جذب نقطه کوانتموی نیم بیضی‌گون با ناخالصی هیدروژنی به صورت تابعی از انرژی فوتون فروودی با اعمال میدان الکتریکی مختلف ۷۶	نگاره‌ی ۴-۱۶-۵-۴ - مقایسه‌ی تغییرات ضرایب شکست نقطه کوانتموی بیضی‌گون با و بدون ناخالصی هیدروژنی به صورت تابعی از انرژی فوتون فروودی با اعمال میدان الکتریکی ۷۶
نگاره‌ی ۴-۱۷-۵-۴ - تغییرات ضرایب شکست نقطه کوانتموی بیضی‌گون با ناخالصی هیدروژنی به صورت تابعی از انرژی فوتون فروودی با اعمال میدان الکتریکی مختلف ۷۷	نگاره‌ی ۴-۱۸-۵-۴ - تغییرات ضرایب شکست نقطه کوانتموی نیم بیضی‌گون با ناخالصی هیدروژنی به صورت تابعی از انرژی فوتون فروودی با اعمال میدان الکتریکی مختلف ۷۸
نگاره‌ی ۴-۱۹-۵-۴ - مقایسه‌ی تغییرات ضریب تولید هماهنگ مرتبه دوم نقطه کوانتموی نیم بیضی‌گون با و بدون ناخالصی هیدروژنی به صورت تابعی از انرژی فوتون فروودی ۷۹	نگاره‌ی ۴-۲۰-۵-۴ - تغییرات ضریب تولید هماهنگ مرتبه دوم نقطه کوانتموی نیم بیضی‌گون با ناخالصی هیدروژنی به صورت تابعی از انرژی فوتون فروودی با تغییرات شاع ۸۰
نگاره‌ی ۴-۲۱-۵-۴ - تغییرات ضریب تولید هماهنگ مرتبه دوم نقطه کوانتموی نیم بیضی‌گون با ناخالصی هیدروژنی به صورت تابعی از انرژی فوتون فروودی برای مقادیر مختلف χ ۸۱	نگاره‌ی ۴-۲۲-۵-۴ - تغییرات ضریب تولید هماهنگ مرتبه دوم نقطه کوانتموی نیم بیضی‌گون با ناخالصی هیدروژنی به صورت تابعی از انرژی فوتون فروودی با تغییرات میدان الکتریکی ۸۲
نگاره‌ی ۴-۲۳-۵-۴ - مقایسه‌ی تغییرات ضریب همسوسازی نوری نقطه کوانتموی نیم بیضی‌گون با و بدون ناخالصی هیدروژنی به صورت تابعی از انرژی فوتون فروودی ۸۲	نگاره‌ی ۴-۲۴-۵-۴ - تغییرات ضریب ضریب همسوسازی نوری نقطه کوانتموی نیم بیضی‌گون با ناخالصی هیدروژنی به صورت تابعی از انرژی فوتون فروودی با تغییرات شاع ۸۳
نگاره‌ی ۴-۲۵-۵-۴ - تغییرات ضریب همسوسازی نوری نقطه کوانتموی نیم بیضی‌گون با ناخالصی هیدروژنی به صورت تابعی از انرژی فوتون فروودی برای مقادیر مختلف χ ۸۴	نگاره‌ی ۴-۲۶-۵-۴ - مقایسه‌ی تغییرات ضریب تولید هماهنگ مرتبه سوم نقطه کوانتموی بیضی‌گون با و بدون ناخالصی هیدروژنی به صورت تابعی از انرژی فوتون فروودی ۸۴
نگاره‌ی ۴-۲۷-۵-۴ - مقایسه‌ی تغییرات ضریب تولید هماهنگ مرتبه سوم نقطه کوانتموی نیم بیضی‌گون با و بدون ناخالصی هیدروژنی به صورت تابعی از انرژی فوتون فروودی ۸۵	

فهرست نگاره‌ها

صفحه	عنوان
	نگاره‌ی ۴-۵-۲۸- تغییرات ضریب تولید هماهنگ مرتبه سوم نقطه کوانتومی بیضی‌گون با ناخالصی هیدروژنی به صورت تابعی از انرژی فوتون فروودی با تغییرات شعاع ۸۵
	نگاره‌ی ۴-۵-۲۹- تغییرات ضریب تولید هماهنگ مرتبه سوم نقطه کوانتومی نیم بیضی‌گون با ناخالصی هیدروژنی به صورت تابعی از انرژی فوتون فروودی با تغییرات شعاع ۸۶
	نگاره‌ی ۴-۵-۳۰- تغییرات ضریب تولید هماهنگ مرتبه سوم نقطه کوانتومی نیم بیضی‌گون با ناخالصی هیدروژنی به صورت تابعی از انرژی فوتون فروودی برای مقادیر مختلف χ ۸۷
	نگاره‌ی ۴-۵-۳۱- تغییرات ضریب تولید هماهنگ مرتبه سوم نقطه کوانتومی بیضی‌گون با ناخالصی هیدروژنی به صورت تابعی از انرژی فوتون فروودی با تغییرات میدان الکتریکی ۸۸
	نگاره‌ی ۴-۵-۳۲- تغییرات ضریب تولید هماهنگ مرتبه سوم نقطه کوانتومی نیم بیضی‌گون با ناخالصی هیدروژنی به صورت تابعی از انرژی فوتون فروودی با تغییرات میدان الکتریکی ۸۸
	نگاره‌ی ۴-۵-۳۳- تغییرات عامل ساختار برای نقطه کوانتومی بیضی‌گون با و بدون ناخالصی هیدروژنی به صورت تابعی از انرژی فوتون فروودی برای مقادیر مختلف χ ۸۹
	نگاره‌ی ۴-۵-۳۴- تغییرات عامل ساختار برای نقطه کوانتومی بیضی‌گون با و بدون ناخالصی هیدروژنی به صورت تابعی از انرژی فوتون فروودی برای مقادیر مختلف شعاع ۸۹
	نگاره‌ی ۴-۵-۳۵- تغییرات عامل ساختار برای نقطه کوانتومی بیضی‌گون با و بدون ناخالصی هیدروژنی به صورت تابعی از انرژی فوتون فروودی برای مقادیر مختلف ۹۰
	نگاره‌ی ۴-۵-۳۶- تغییرات عامل ساختار برای نقطه کوانتومی بیضی‌گون با و بدون ناخالصی هیدروژنی به صورت تابعی از انرژی فوتون فروودی برای مقادیر مختلف شعاع ۹۰
	نگاره‌ی ۴-۵-۳۷- تغییرات عامل ساختار برای نقطه کوانتومی نیم بیضی‌گون با و بدون ناخالصی هیدروژنی به صورت تابعی از انرژی فوتون فروودی برای مقادیر مختلف ۹۱
	نگاره‌ی ۴-۵-۳۸- تغییرات عامل ساختار برای نقطه کوانتومی نیم بیضی‌گون با و بدون ناخالصی هیدروژنی به صورت تابعی از انرژی فوتون فروودی برای مقادیر مختلف χ ۹۱
	نگاره‌ی ۴-۵-۳۹- تغییرات عامل ساختار برای نقطه کوانتومی نیم بیضی‌گون با و بدون ناخالصی هیدروژنی به صورت تابعی از انرژی فوتون فروودی برای مقادیر مختلف ۹۲
	نگاره‌ی ۴-۵-۴۰- تغییرات عامل ساختار برای نقطه کوانتومی نیم بیضی‌گون با و بدون ناخالصی هیدروژنی به صورت تابعی از انرژی فوتون فروودی برای مقادیر مختلف χ ۹۲

فصل اول

پیش گفتار

۱-۱ مقدمه

انسان همواره تمایل داشته است که در قلب ناشناخته‌ها به کاوش مشغول شود و به همین علت نیز توانسته تا در علوم مختلف به پیشرفت‌هایی نایل شود. این علاقه به سرزمینی یا ملت خاصی محدود نمی‌شود. از اواخر قرن بیستم دامنه‌ی نفوذ و فعالیت بشر از مقیاس میکرون فراتر رفته و به سرحد نانومتر و آنگستروم رسیده است. پیدایش فناوری نانو انقلاب عظیمی در تمامی ابعاد زندگی بشری اعم از الکترونیک، پزشکی، صنایع نظامی و فضایی را به وجود آورد. فناوری نانو سفری است به دنیای اتم‌ها و ملکول‌ها به طوری که از یک سو آشنایی با روش‌های کوچک‌سازی و از سوی دیگر پی بردن به مکانیزم‌های جاری در قلمرو ۱۰۰۰-۱ نانومتر می‌باشد. آرزوی دیرینه نانو رسیدن به یک تکنولوژی است که در آن توانایی ساخت اتم به اتم ماده وجود داشته باشد [۱]. یکی از زمینه‌های این فناوری که موضوع پژوهش‌های بسیار وسیعی در قرن حاضر بوده، نیمرساناهای صفر بعدی^۱ یا نقاط کوانتومی^۲ می‌باشد. در این سیستم‌های کوانتومی به علت وجود محدودیت فضایی اعمال شده بر حرکت حامل‌های بار، چگالی حالت‌های الکترونی کاملاً گسترشده و در نتیجه ویژگی‌های نوری این سیستم‌ها به صورت چشمگیری تغییر می‌دهد [۲]. بنابراین، از این سیستم‌ها به طور گسترده‌ای در ساخت قطعات اپتیکی و الکترونیکی استفاده می‌شود.

۲-۱ مقدمه‌ای بر نانو

۱-۲-۱ تاریخچه نانو

مشخص نیست که بشر از چه هنگام به مزیت استفاده از موادی با اندازه‌ای از مرتبه‌ی نانو پی برده است. مشهور است که در قرن چهارم میلادی، شیشه سازان رومی شیشه‌هایی می‌ساختند

¹ Zero Dimensional semiconductors

² Quantum Dots

که حاوی فلزاتی با اندازه‌ای از مرتبه‌ی نانو بوده است. اهمیت بالقوه‌ی خوش‌ها به وسیله‌ی شیمیدان ایرلندی، رابت بویل^۱، در کتابی با عنوان «شیمیدان شکاک» که در سال ۱۶۶۱ انتشار یافت، مشخص شد. در سال ۱۸۵۷ مایکل فارادی^۲ در مقاله‌ای که در «مذاکرات فیلسوفانه‌ی انجمن سلطنتی» منتشر شد، تلاش کرد که چگونگی تأثیر ذرات فلز بر رنگ پنجره‌های کلیسا توضیح دهد. گوستاو مای^۳ نخستین کسی بود که وابستگی رنگ شیشه‌ها را به اندازه و نوع فلزات به کار رفته در آن توضیح داد. مقاله او در سال ۱۹۰۸ و در مجله‌ی آلمانی *Annalen der physik* منتشر شد. اگر چه فاینمن^۴ سخنرانی نظری‌اش را در سال ۱۹۶۰ ارائه کرد، فعالیت‌های تجربی روی ذرات ریز فلزی در دهه های ۱۹۵۰ و ۱۹۶۰ وجود داشت. در آن زمان به این فعالیت‌ها «نانو فناوری» نمی‌گفتند و تعداد این آزمایشات هم انگشت شمار بود. با وجود این که اویلر^۵ اولین مشاهدات خود روی سیلیکون متخلخل را در سال ۱۹۶۵ گزارش داد، اما تا سال ۱۹۹۰، زمانی که اثر فلورسانس در دمای اتاق در این فلز مشاهده شد، توجهات به این موضوع جلب نشد. در اوایل دهه‌ی ۱۹۷۰، گروه‌هایی در آزمایشگاه‌های بل^۶ و ای بی^۷ ام اولین چاهه‌ای کوانتمی دو بعدی را ساختند. آنها با کمک روش‌های رشد لایه‌ی نازک که با چینش اتمی، یک لایه‌ی نیمه‌رسانا می‌ساخت، درست شده بودند. این کار سرآغاز به وجود آمدن نقطه‌ی کوانتمی بدون بعد بود که هم اکنون یکی از تکامل یافته‌ترین نانو فناوری‌ها با کاربردهای تجاری است [۳].

در هر حال، تا دهه‌ی ۱۹۸۰ که با ظهور روش‌های مناسب ساخت نانوساختارها افزایش قابل ملاحظه‌ای در فعالیت‌های تحقیقاتی رخ داد و پیشرفت‌های مهمی را در پی داشت، فعالیت‌های زیادی صورت نمی‌گرفت. در سال ۱۹۸۱ برای ساخت خوش‌های فلزی روشی به وجود آمد که در آن با استفاده از یک لیزر کانونی پرتوان، فلزات تبخیر و تبدیل به پلاسمای داغ می‌شدند، در این روش دمش ناگهانی هلیوم، بخار را سرد می‌کند و موجب چگالش اتم‌های فلزی و تبدیل آنها به خوش‌هایی با اندازه‌های مختلف می‌شود. در سال ۱۹۸۵، این روش برای ساخت فولرین (C₆₀) استفاده شد. در سال ۱۹۸۲، اکیموف^۸ و اومشنکو^۹، دو دانشمند روسی نخستین مشاهده‌ی اثرات محدودیت کوانتمی^{۱۰} را گزارش دادند. اگر چه فرضیه‌ی بلورهای فوتونی از لحاظ نظری در اواخر دهه‌ی ۱۹۸۰ تدوین شد، اما نخستین بلور فوتونی سه بعدی دوره‌ای که دارای یک گاف نوری کامل بود، در سال ۱۹۹۰ به وسیله‌ی یابلونوویچ^{۱۱} ساخته شد. مایکل روکز^{۱۲} که بر روی توسعه‌ی ابزارهای نانو الکترومغناطیسی کار می‌کند، در مقاله‌ای که در سپتامبر ۲۰۰۱ در مجله‌ی علوم آمریکا به

¹ Robert Boyle

² Michael Farady

³ Gustav Mie

⁴ Richard Feynman

⁵ Uhlir

⁶ Bell

⁷ Ibm

⁸ Ekimov

⁹ Oumshchenko

¹⁰ Quantum Confinement

¹¹ Yablonovihch

¹² Michal Roukes

چاپ رسید، به تعدادی دیگر از چالش‌های پیش روی این فناوری اشاره کرده است. یک چالش مهم، ارتباط بین دنیای نانو و دنیای بزرگ - مقیاس است. برای مثال، وقتی اندازه‌ی میله‌ی صلب کاهش می‌یابد، بسامد تشدید مغناطیسی آن زیاد می‌شود. در نظام نانو، بسامد ها می‌توانند به بزرگی 10^{10} هرتز و محدوده‌ی دامنه‌های ارتعاش از 10^{-12} تا 10^{-15} (پیکومتر) باشند[۴].

۲-۲-۱ نانو تکنولوژی

نانو تکنولوژی چنان نگرش به تکنولوژی را متحول ساخته که در صورت تحقق و رسیدن به مقصدی که ترسیم شده است، شاید بزرگترین جهش انسان برای صعود به قله‌های رفیع علم باشد. نانو فناوری، توانایی کار کردن در ابعاد اتمی، مولکولی و فراتر از مولکول در ابعاد $1/100$ نانومتر است. ساخت و دخل و تصرف در چگونگی آرایش اتم‌ها یا مولکول‌ها و همچنین دستیابی به سیستم‌هایی با توانایی‌های جدید ناشی از ابعاد کوچک آن‌ها هدف نانو تکنولوژی است. نانو تکنولوژی یک رشته جدید نیست، بلکه رویکردی جدید در تمام رشته‌های است. تفاوت اصلی فناوری نانو با فناوری‌های دیگر، در مقیاس مواد و ساختارهایی است که در این محدوده مورد استفاده قرار می‌گیرند. البته تنها کوچک بودن اندازه مدنظر نیست، بلکه زمانی که اندازه مواد در این مقیاس قرار گیرد خصوصیات ذاتی آن‌ها از جمله رنگ، استحکام، مقاومت خوردگی و... تغییر می‌یابد. در حقیقت در مقیاس نانو، بنیادی ترین خواص مواد به گونه‌ای به اندازه بستگی دارد که در مقیاس‌های دیگر چنین نیست. سیستم‌های با ابعاد کم از یافته‌های ۲۰ سال اخیر در عرصه فیزیک حالت جامد محسوب می‌شوند. تکنیک‌های پیشرفته رشد نیم رساناها به ما اجازه می‌دهند که فضاهای کوانتومی محدود با تعداد کمی الکترون تشکیل دهیم. یک راه معمولی ساخت نقاط کوانتومی محدود کردن گاز الکترونی دو بعدی در یک رسانا می‌باشد. نانو فناوری را می‌توان به سه دسته تقسیم کرد.

- ۱) نانو فناوری خشک که به بررسی نانو ساختارهای کربنی و عمدۀ ساختارهای معدنی می‌پردازد.
- ۲) نانو فناوری مرتبط که بررسی اجزای سیستم‌های زیستی را در بر می‌گیرد.
- ۳) نانو فناوری محاسباتی که با استفاده از مدل‌های ریاضی به بررسی خواص و رفتار واحدهای ساختاری نانومتری می‌پردازد.

یکی از زمینه‌های این فناوری نیم رساناها یک بعدی و صفر بعدی است که به علت کاربردهای فراوانشان در ساخت قطعات الکترونیکی و اپتیکی، موضوع پژوهش‌های بسیار وسیع در قرن حاضر شده است[۳].

۱-۳ روش‌های تجربی تولید مواد در مقیاس نانویی

تولید و بهینه سازی مواد بسیار ریز، اساس بسیاری از تحقیقات و فناوری‌های امروزی است، که در تهییه فرمولاسیون و تکنولوژی ساخت برای بالا بردن کیفیت نهایی محصولات صورت می‌پذیرد. علاوه بر اندازه، توزیع اندازه و شکل ذرات بسیار حائز اهمیت است. دستورالعمل‌های مختلفی در خصوص تولید ذرات بسیار ریز در شرایط تعلیق^۱ وجود دارد ولی در خصوص انتشار و تشریح دقیق فرآیند رسوب‌گیری و روش‌های افزایش مقیاس این فرآیندها در مقیاس تجاری محدودیت وجود دارد. برای تولید این نوع

^۱ Colloidal

مواد بسیار ریز از پدیده‌های فیزیکی یا شیمیایی یا به طور همزمان از هر دو استفاده می‌شود. برای تولید یک ذره با اندازه مشخص دو فرآیند اساسی وجود دارد، درهم شکستن(بالا به پایین) و دیگری ساخته شدن (پایین به بالا). مراحل مختلف تولید ذرات بسیار ریز عبارت است از، مرحله هسته‌زایی اولیه^۱ و مرحله هسته زایی و رشد خود به خودی^۲. در ادامه به طور خلاصه روش‌های مختلف تولید نانو ذرات را بیان می‌کنیم. به طور کلی این روش‌ها به دو گروه زیر تقسیم بندی می‌شوند.

الف- فاز گاز مثل آئرسل، سی وی دی(CVD)....

ب- فاز مایع مثل میکرومولسیون، سل - ژل، هیدرولیز و هم رسوبی و...

توجه به این نکته مهم است که فرآیندهای مربوط به فاز گاز پرهزینه و استفاده از آنها منوط به داشتن آزمایشگاهی با امکانات ویژه می‌باشد[۵].

۱-۴ مقدمه ای بر مواد نیم رسانا

نیم رساناها گروهی از مواد هستند که رسانندگی الکتریکی آنها بین فلزات و عایق‌ها قرار دارد. یک عایق با گاف انرژی کوچک بین نوار ظرفیت و نوار رسانش، یک نیم رسانا خوانده می‌شود^[۴]. یکی از ویژگی‌های مهم نیم رساناها این است که خواص الکتریکی آنها با تغییر اندازه، برانگیختگی نوری و میزان ناخالصی به نحو محسوسی تغییر می‌کند. به همین دلیل مواد نیم رسانا به عنوان یک انتخاب مناسب برای تحقیق در زمینه‌های قطعات الکترونیکی و اپتوالکترونیکی^۳ به شمار می‌رود. در دهه‌های اخیر پیشرفت در مواد نیم رسانا منجر به پیشرفت در وسایل الکترونیکی و اپتوالکترونیکی شده است. رسانندگی الکتریکی نیم رساناها مختلف است و با هر دو علامت مثبت و منفی وتابعی از مقدار ناخالصی، دما و باری که الکترون‌ها حمل می‌کنند می‌باشد^[۶]. قابلیت کنترل رسانندگی الکتریکی نیم رساناها باعث کاربردهای منحصر به فردی از این مواد در وسایل الکترونیکی مانند ترانزیستورها و همچنین وسایل اپتوالکترونیکی برای تولید و آشکارسازی تابش الکترومغناطیس می‌شود. برای تعیین خواص قطعات الکترونیکی و یا اپتوالکترونیکی مانند دیودها، لیزرهای ترانزیستورها شناخت جزئیات دقیق ساختارهای نواری در مقیاس حجم بزرگ با مقیاس نانویی می‌باشد. تمام تلاش‌ها بر روی شناسایی و بازسازی در ساختارهای نواری در نزدیک گاف انرژی^۴ است که این گاف، انرژی سطح بالانس^۵ یا ظرفیت را از نوار رسانش جدا می‌کند. بهینه سازی نیمه رساناها گاف انرژی مستقیم و گاف غیر مستقیم و کاربردی کردن آنها یکی از روش‌های مطالعه روی نیمه رساناها است^[۷-۸]. همچنان که می‌دانیم دریک نیم رسانای گاف مستقیم الکترون‌ها در پایین ترین نوار رسانش^۶ می‌توانند با حفره‌های در بالاترین نوار ظرفیت با گسیل یک فوتون باز ترکیب شوند ولی در نیم رساناها یا گاف غیرمستقیم این فرآیند برای پایستگی تکانه می‌باشد با گسیل و یا جذب فوتون صورت پذیرد. در حال حاضر تحقیقات زیادی بر

¹ Nucleation

² Spontaneous Nucleation

³ Optoelectronic Deivces

⁴ Energy Band Gap

⁵ Valance Band

⁶ Conduction Band

اساس تولید مواد نیمه رسانا در مقیاس نانو انجام می پذیرد. برای تولید این مواد ریز ساختار، می توان با تغییر دادن ترکیبات در مقیاس لایه اتمی و تغییر در ساختار الکترونی، خواص الکترونی بهینه و حتی اپتوالکترونیکی را با تغییر در ساختار نواری بدست آورد. گاهی اوقات در مقیاس های بزرگ، تهیه و بهبود خواص نیمه رساناها تقریباً کاری غیر ممکن است. محدود کردن حرکت الکترون به ابعاد پایین تر، چگالی حالت ها را در نزدیکی لبه های نواری بسیار افزایش می دهد و مقدار انرژی الکترون را به طور قابل ملاحظه ای تغییر می دهد.

۱-۵ ساختارهای کوانتومی

در ساختارهایی با مقیاس نانو، حرکت الکترون ها در یک، دو و یا سه جهت در فضا محدود شده و در نتیجه ساختارهای کوانتومی به وجود می آیند. از آن جا که محدودیت حرکت در حد چند انگستروم باعث بروز خواص کوانتومی برای حامل ها می شود، به این ساختارها، ساختارهای کوانتومی می گویند. وقتی که حرکت تنها در یک جهت محدود شود، در حالی که حرکت در دو جهت دیگر آزاد است، یک چاه کوانتومی^۱ داریم. وقتی که محدودیت در دو بعد اعمال شود، با سیم کوانتومی^۲ مواجه شده و زمانی که حرکت در هر سه بعد محدود شود یک نقطه کوانتومی داریم، به عبارتی هر سه بعد یک نقطه کوانتومی در محدوده نانو می باشند. در ادامه این سیستم ها را بررسی می کنیم.

۱-۵-۱ چاه کوانتومی

یک لایه نیم رسانای بسیار نازک با گاف انرژی مشخص که بین دو نیم رسانای دیگر با گاف انرژی بزرگتر قرار گرفته شود، به طوری که در آن حرکت حامل های بار دریک راستا محدود و در دو راستای دیگر محدودیتی بر حرکت حامل های بار اعمال نشود، تشکیل چاه کوانتومی می دهد. این سیستم ها را ساختارهای شبه دو بعدی نیز می نامند. در چاه کوانتومی ضخامت نیم رسانای با گاف کوچکتر باقیستی از مرتبه طول موج دوبروی^۳ حامل ها بوده و یا از پویش آزاد میانگین آنها بسیار کوچکتر باشد تا اثرات پیکر کوانتومی در این ساختار قابل ملاحظه شود.

۱-۵-۲ سیم کوانتومی

سیستم هایی که در آن ها حرکت حامل های بار در دو راستا محدود شوند و تنها در راستای محور سیم آزادی حرکت داشته باشند، سیم های کوانتومی یا ساختارهای شبه یک بعدی می نامند. محدودیت دو بعدی اعمال شده در سیم های کوانتومی سبب کوانتیدگی بیشتر ترازهای انرژی و در نتیجه باعث تغییر توزیع چگالی حالت های آن در مقایسه با چاه کوانتومی می گردد. نانوسیم ها انواع مختلفی دارند، از جمله نانوسیم های فلزی، نانوسیم های آلی و نانوسیم های نیمه هادی. کاربرد سیم های کوانتومی در لیزر های سیم کوانتومی، وسایل مغناطیسی، سنسور های شیمیایی و

¹ Quantum Well

² Quantum Wier

³ Broglie Wavelenght